

BAYESIAN UPDATING OF PROBABILISTIC TIME-DEPENDENT FATIGUE MODEL: APPLICATION TO JACKET FOUNDATIONS OF WIND TURBINES

Benjamin Rocher ⁽¹⁾

Preced, Nantes, 04/03/2015



Framework :

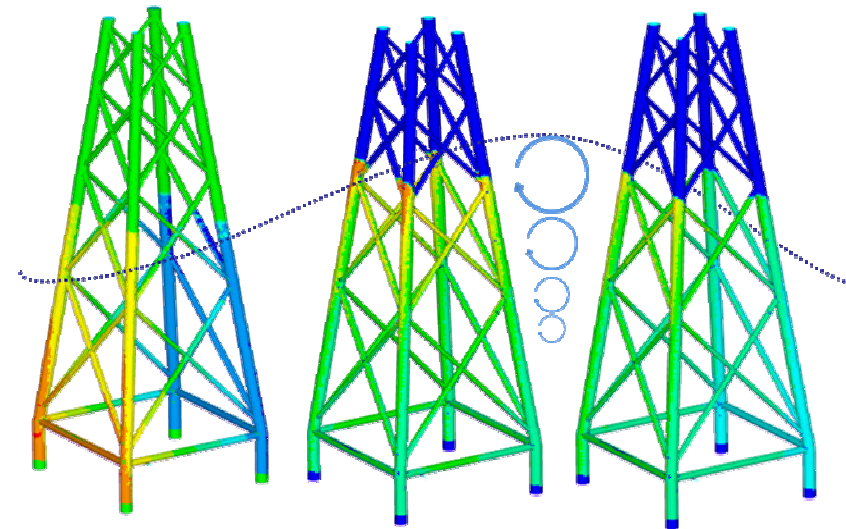
1. Introduction

2. Monitoring

3. Fatigue

4. Parameters identification

5. Conclusions



Introduction :

STX France Solutions strategy :

- Jacket fabrication for OWT
- “The lighter it is, the better is.”

The O&M plan has to be adapted !



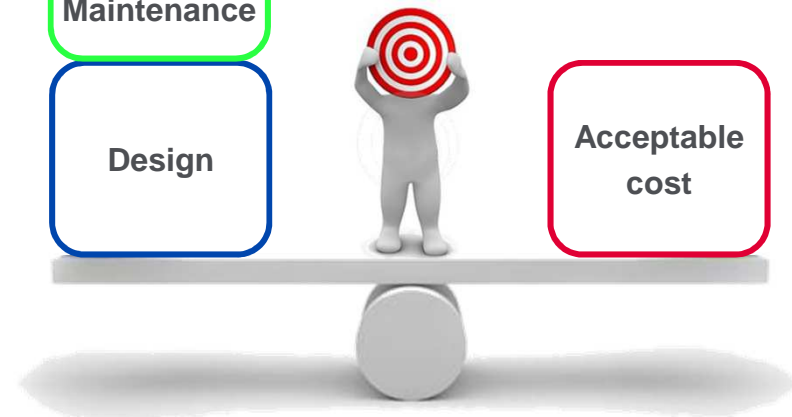
Offshore wind turbine



Operation
&
Maintenance

Design

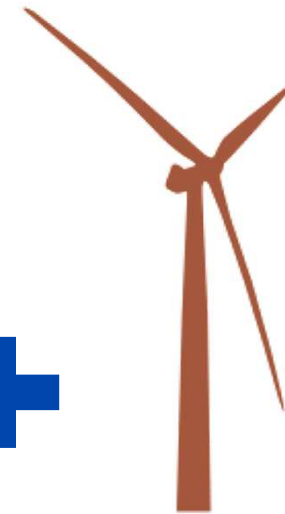
Acceptable
cost



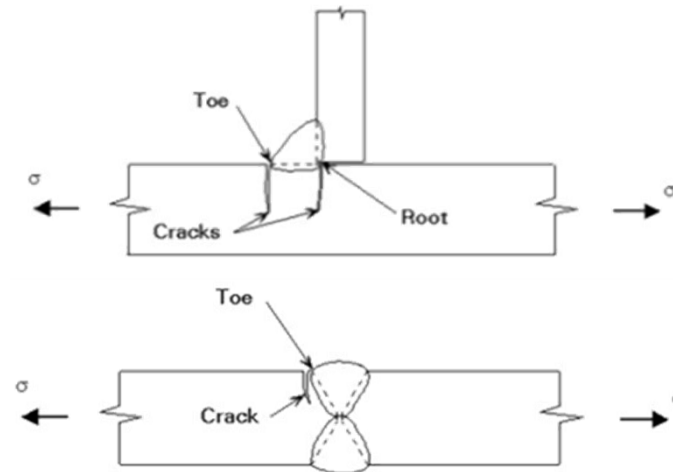
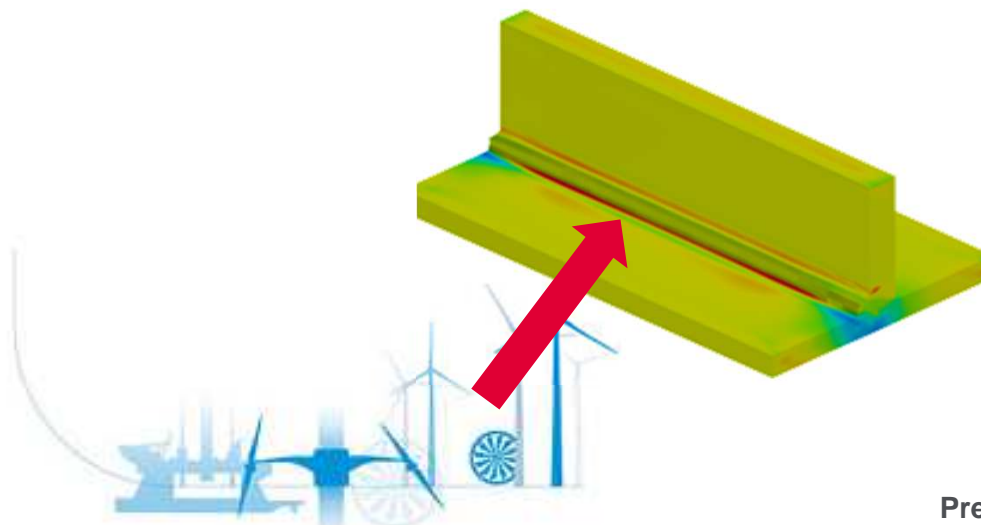
What do we know ?

1. Fatigue drive the design of OWT because of ...

- periodic loads



- and steel welding create stress concentrations



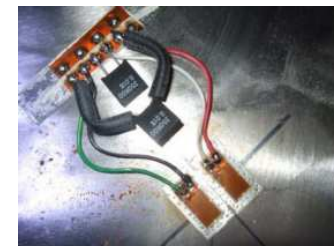
What do we know ?

2. We can use sensors to monitor :

- Environmental parameters
 - Waves height, current and wind speed ...

- Structural degradation
 - Marine growth, Corrosion

- Structural monitoring
 - Time series of stress or strain, cracks



State of the art :

- **Guedes Soares C., Garbatov Y.**, « Reliability of maintained ship hulls subjected to corrosion », Journal of Ship Research, Vol. 40, N°3, pp. 235-243
- **Moan T., Johannesen J.M., Vårdal O.T.**, « Probabilistic Inspection Planning of Jacket Structures », Offshore Technology Conference, Houston, Texas
- **Sorensen J.D., Tarp-Johansen N.J.**, « Reliability-based Optimization and Optimal Reliability Level of Offshore Wind Turbines », International Journal of Offshore and Polar Engineering, Vol. 15, N°2, June 2005, pp. 141-146.
- **Dong W., Moan T., Gao Z.**, « Fatigue reliability analysis of the jacket support structure for offshore wind turbine considering the effect of corrosion and inspection », Reliability Engineering and System Safety 106 11-27

1998

1999

2005

2012



State of the art / Differences

Gain :

- 70-80% gain of inspection plan and 3-4x more cracks identified [Moan, 1999]

Why this gain ?

- Redundant structures

Why are we different ?

- Less redundant structures



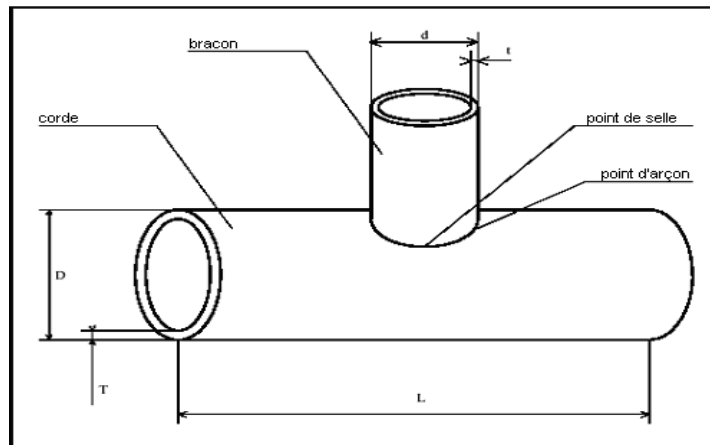
Scientific objective :

Using a fatigue analysis with a crack initiation approach in a reliability analysis

SurFFEol

Instrumentation sur BioColmar : cadre SurFFEol

Acteurs : C. Lupi, B. Rocher, Y. Lecieux, D. Leduc, M. Roche, X. Chapeleau (IFSTTAR), S. Chataigner (IFSTTAR), L.M. Cottineau (IFSTTAR) et F. Schoefs



$$\alpha = \frac{2L}{D}$$

$$\beta = \frac{d}{D}$$

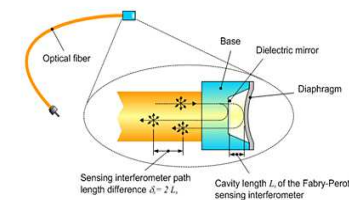
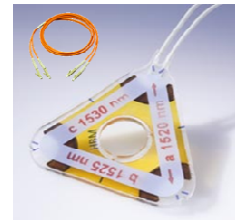
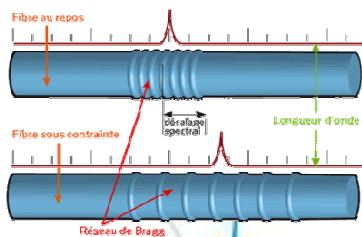
$$\gamma = \frac{t}{T}$$

$$\delta = \frac{g}{D}$$



Smart Sensors and integrated SHM system for offshore structures – Duan et al. - 2005

Mesures de déformations par Capteurs à fibres optiques : Bragg et Fabry-pérot



Instrumentation sur BioColmar : cadre SurFFEol

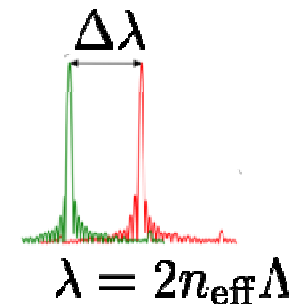
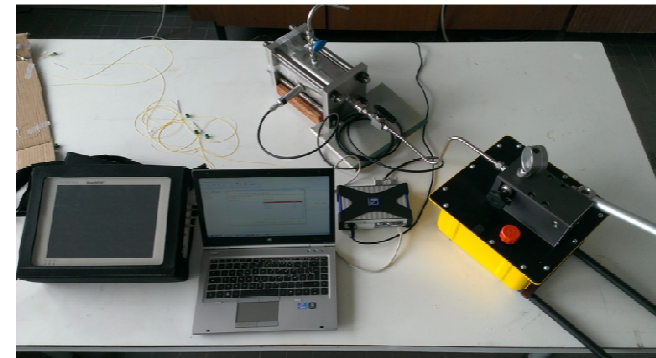
Acteurs : C. Lupi, B. Rocher, Y. Lecieux, D. Leduc, M. Roche, X. Chapeleau (IFSTTAR), S. Chataigner (IFSTTAR), L.M. Cottineau (IFSTTAR) et F. Schoefs

Architecture et étalonnage des capteurs de déformations

Architecture :

3 capteurs en rosettes soudés un par un sur le nœud pour accéder à une information de déformation tensorielle en surface.

1 capteur positionné à l'intérieur du tube libre de contrainte pour compenser les effets de températures et pressions.



Caractérisation des produits du fournisseur en Pression et Température pour correction et protocole de correction établi.



Stratégie d'instrumentation

Caractéristiques des capteurs retenus :

- Sensibilité 1.2 pm/ $\mu\epsilon$
- Gamme mesure $\pm 2500 \mu\epsilon$
- Weldable stainless steel package
- Dimension 50 (mm)*15 (mm)*0.3(mm)
- Poids: 3 g

Caractéristiques du dispositif de mesure retenu :

- 4 voies de mesures avec 16 capteurs/voies
- Répétabilité a) 1 pm pour 1 Sampling/s
b) 5 pm pour 100 Sampling/s

Acquisition de données :
Station Pégase IFSTTAR

Stratégie d'instrumentation:

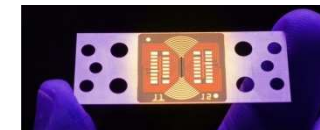
Bouclage avec dimensionnement
gamme de déformation subie par nœud



Optimisation Multiplexage en longueur d'onde

Instrumentation nœud T
en fibre optique : pérennité
du capteur dans l'eau sur 20
ans

Confrontation divers capteurs sur essais fatigue :
Jauges résistives et Capteur de Fatigue CrackFist



Instrumentation sur BioColmar : cadre SurFFEol

Biocolonisation

Inspections régulières par plongée ou dispositif optique.

Evaluation de la surépaisseur et de la rugosité

Acteurs : F. Schoefs (GeM), M. O'Byrne (Capacités), A-L. Barillé (Biolittoral), L. Barillé (Biolittoral) et H. Ameryoun (GeM)



Corrosion

Enregistreur pour la détermination des critères de protection cathodique

Enregistreur de Potentiel de Corrosion 8 voies

Acteurs : L. Gaillet (IFSTTAR) et M. Denecker (IFSTTAR)



Elastoplastic model ...

Two scale model [Lemaitre et al., 2004] :

- Fatigue : $\sigma_y^\mu < \sigma < \Sigma_y$

Localisation :

- Eshelby-Kröner : $\varepsilon = E + b(\varepsilon^p - E^p)$
- Lin-Taylor (1957) : $\varepsilon = E$

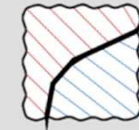
Hardening :

- Linear kinematic
- Nonlinear kinematic
- Isotropic
- Combination

$$b = \frac{2(4 - 5\nu)}{15(1 - \nu)}$$

Macroscopic scale : Σ, E, Σ_y
Constitutive law (CL) : Elastic

$$\sigma_y^\mu < \Sigma_y$$



Microscopic scale : $\sigma, \varepsilon, \sigma_y^\mu$
CL : Elastoplastic damageable



Snecma



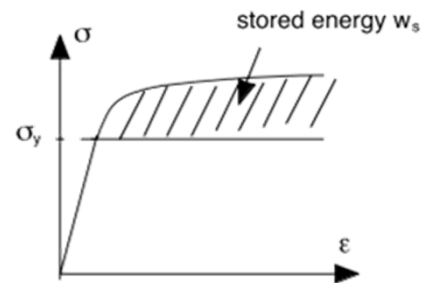
... damageable

Damage :

- Isotropic ; Orthotropic ; Anisotropic
- Symmetric ; Asymmetric

Damage rate :

- $dD = \left(\frac{Y}{S}\right)^S dp \cdot \mathcal{H}(p - p_d)$
- $dD = \left(\frac{Y}{S}\right)^S dp \cdot \mathcal{H}(w_s - w_d)$



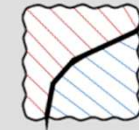
Advantages :

- Mean stress and stress history

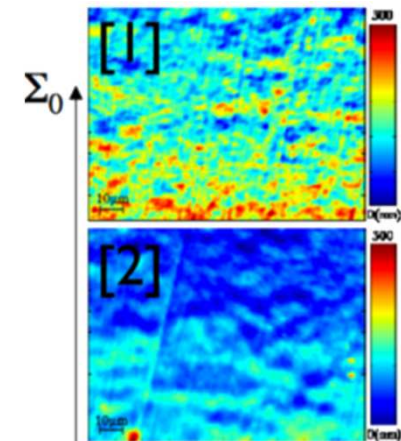
$$D = \mathcal{M}_{inc} \left(E(M, t); C, \sigma_y^\mu, S, s, p_d, D_C \right)$$

Macroscopic scale : Σ, E, Σ_y
Constitutive law (CL) : Elastic

$$\sigma_y^\mu < \Sigma_y$$



Microscopic scale : $\sigma, \varepsilon, \sigma_y^\mu$
CL : Elastoplastic damageable



[Poncelet, 2007]

Computation process

Beam model

- Wind and wave loads

Step 1

- Loads or displacements

SCF + Stress

- Loads or displacements application

Step 2

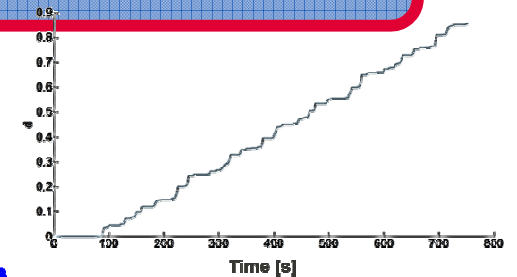
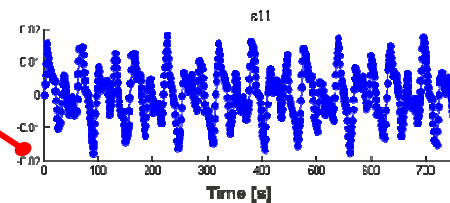
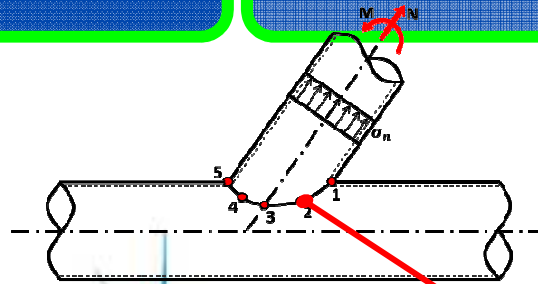
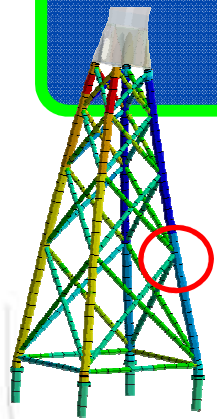
- Combined normal stresses

Post-treatment

- Solve : Two scales damage model

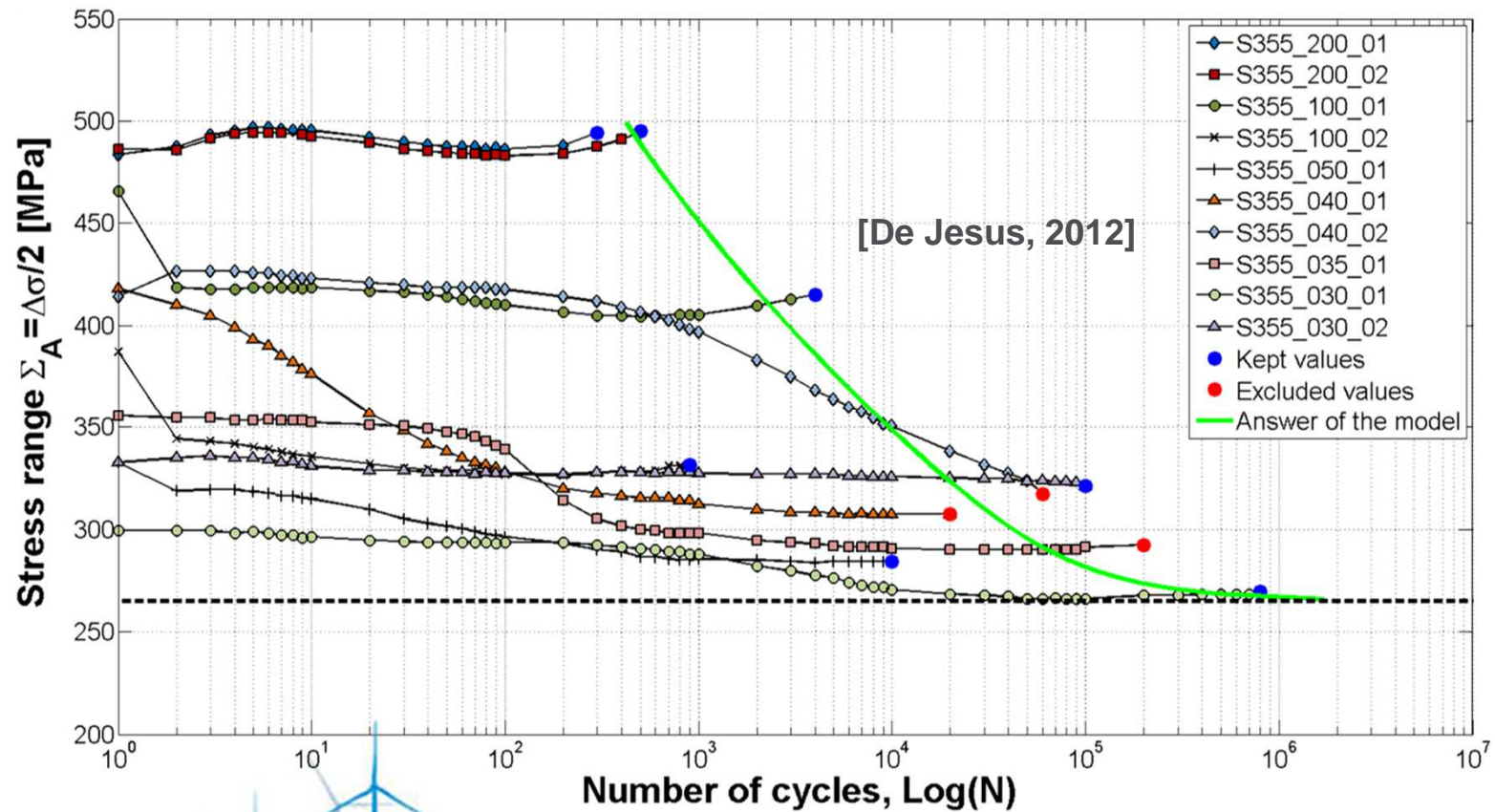
Step 3

Damage



Parameters identification

Analytical expression : $N_R = \mathcal{M}_{an}(\varepsilon(M, t); C, \sigma_y^\mu, S, s, p_d, D_C)$



Bayesian updating :

Why ?

- Random observations
- Inverse problem

Principle :

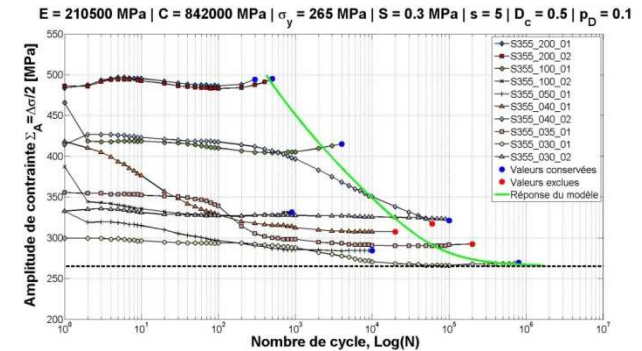
- Enrich the priors of z parameters from observations $y(z_p)$
- Maximizing the likelihood function

Results :

- Posterior distribution of the parameters

Assumptions over parameters :

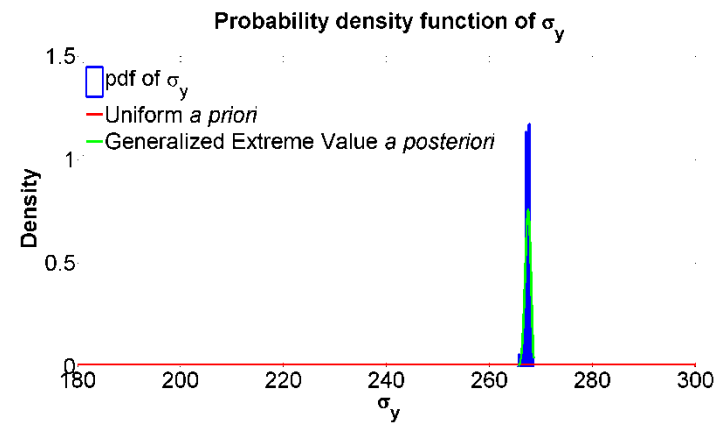
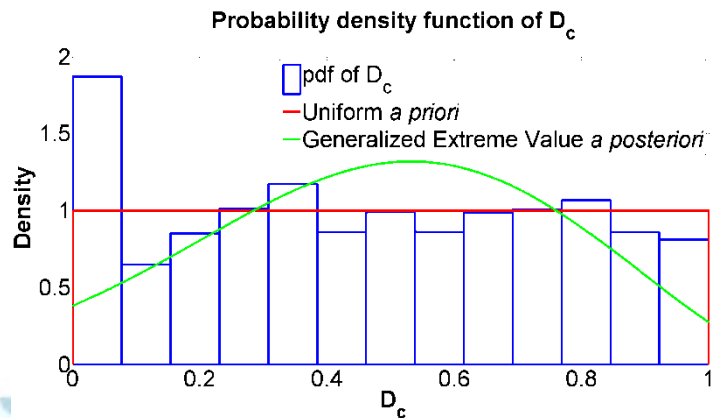
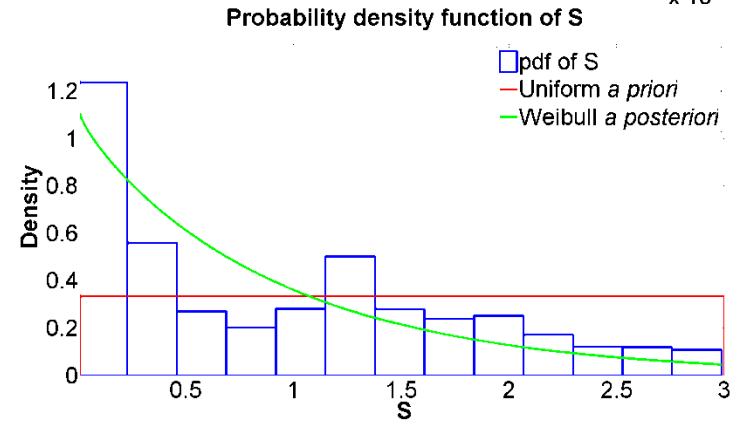
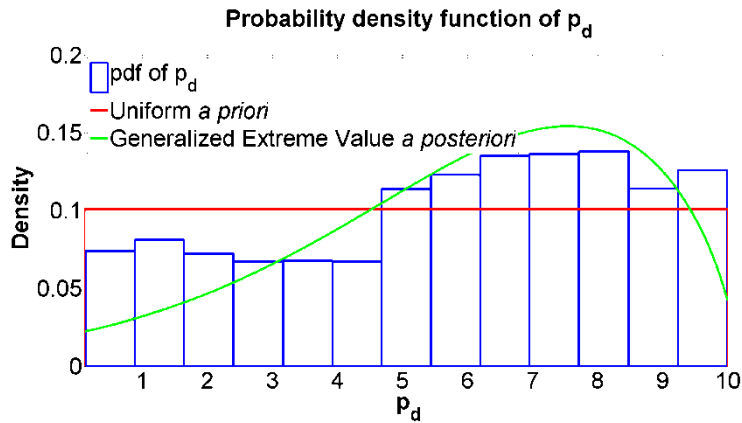
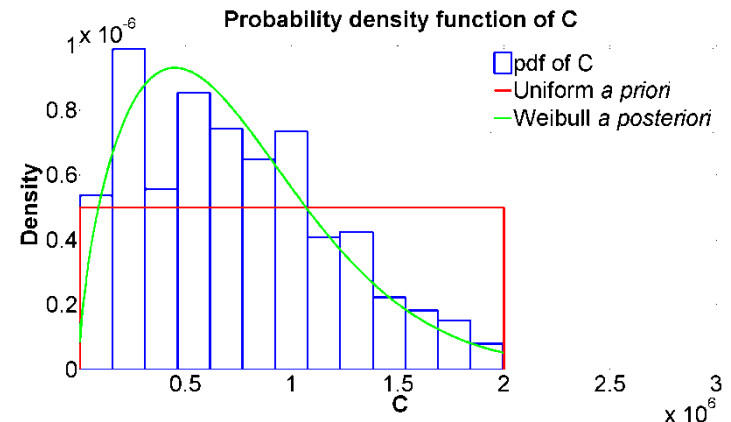
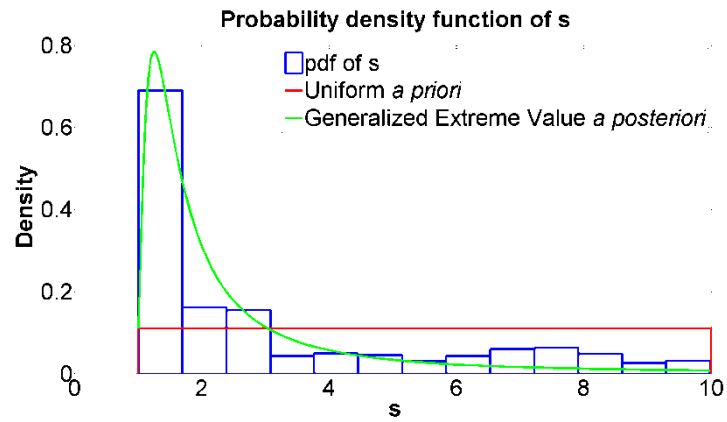
- Independent variables
- Uniform distribution a priori



$$f_X(x) = \frac{1}{c} p_X(x) L(x, Y^{obs})$$

$$L(z, Y^{obs}) = \prod_{p=1}^P \varphi \left(\frac{M_{an}(z) - y(z_p)}{\sigma} \right)$$





Conclusions :

We presented :

- A new method for fatigue analysis which can be updated
- A parameter updating from laboratory tests
- SurFFEol, a project to understand the structural degradations.

The locks :

- Computation process may be time consuming



Outlook : Updating from SHM

Environmental conditions :

- Wind / wave

Corrosion :

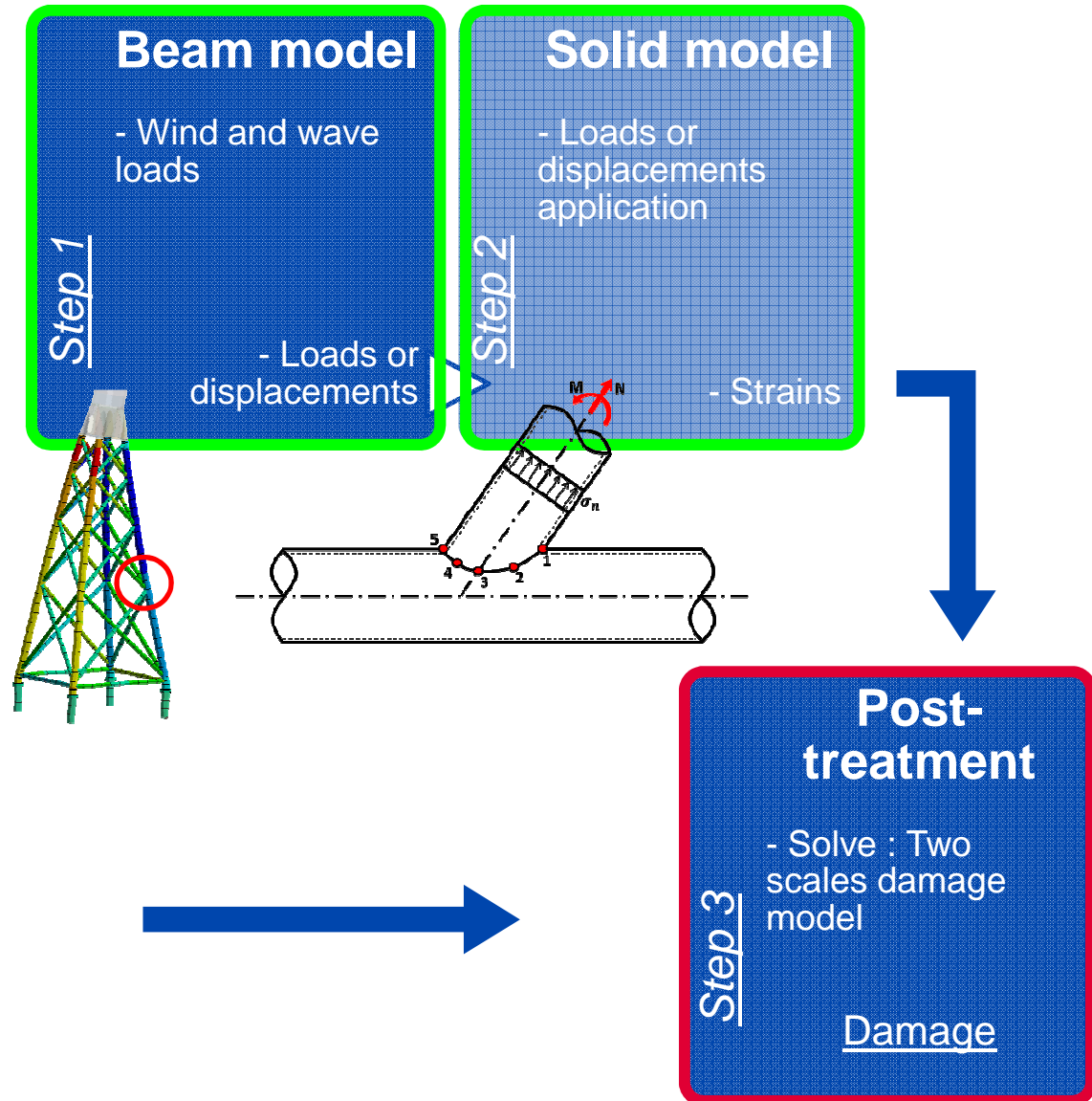
- Thickness
- C_D, C_M

Marine growth :

- Thickness
- C_D, C_M

Structural monitoring :

- Stress / Strains
- Crack



References :

De Jesus A. M. P., « A comparison of the fatigue behavior between S355 and S690 steel grades », *Journal of Construction Steel Research*, 2012

DNV-RP-C203, Fatigue Design of Offshore Steel Structure, 2011

Dong W., Moan T., Gao Z., « Fatigue reliability analysis of the jacket support structure for offshore wind turbine considering the effect of corrosion and inspection », *Reliability Engineering and System Safety*, Elsevier, 2012

Dubourg V., Adaptive surrogate models for reliability analysis and reliability-based design optimization, Thèse de doctorat, Université de Blaise Pascal – Clermont II, 2011.

Lemaitre J., *A Course on Damage Mechanics*, Dunod, 1996.

Lemaitre J., Desmorat R., *Engineering Damage Mechanics*, Springer, 2004.

Magnusson A. K., Variability of sea state measurements and sensor dependence, Brest, 30-01 septembre 2013

Poncelet M., Multiaxialité, hétérogénéité intrinsèques et structurales des essais d'auto-échauffement et de fatigue à grand nombre de cycles, Thèse de doctorat, LMT Cachan, 2007.



Contacts :



STX France Solutions SAS, Avenue Chatonay, CS 30156, 44613
Saint-Nazaire Cedex



LUNAM Université, GeM, UMR CNRS 6183, Université de Nantes,
2 rue de la Houssinière, BP 92208 44322 Nantes Cedex 3

benjamin.rocher@stxeurope.com

Thanks to :



Thank you for your attention.
Questions ?



STX France SA
MRE
Avenue Antoine Bourdelle • BP 90180
44613 Saint-Nazaire Cedex
marine.energy@stxeurope.com

STX France Solutions SAS
Engineering
Avenue Chatonay • BP 30156
44613 Saint-Nazaire Cedex
www.stxsolutions.com

